

# ИССЛЕДОВАНИЕ ФОТОГРАФИЧЕСКИ АКТИВНЫХ ПОВЕРХНОСТНО АКТИВНЫХ ВЕЩЕЙ МЕТОДОМ ВОЛЬТАМПЕРОМЕТРИИ С ТРЕУГОЛЬНОЙ РАЗВЕРТКОЙ ПОТЕНЦИАЛА

В. М. Гороховский

*Казанский научно-исследовательский технологический и проектный институт химико-фотографической промышленности, Казань, СССР*

Поступило в редакцию 28 августа 1980

С использованием метода циклической полярографии были определены адсорбционные характеристики трех групп фотографически-активных ПАВ: химических сенсибилизаторов — полиэтиленгликолов, смачивателей — натриевых солей додецилового эфира сульфополиэтиленгликоля (с числом звеньев равным 3, 7, 10, 17 и пластификаторов триацетилцеллюлозной пленки — четвертичных аммониевых солей  $\beta$ -морфолинопропионовой кислоты. Адсорбция исследованных веществ соответствует изотерме Ленгмюра. Были вычислены адсорбционные характеристики: кажущиеся константы и энталпии активации адсорбции при адсорбции веществ на РКЭ, а для полиэтиленгликолов также на УПГСЭ. Была установлена корреляция молекулярной массы, адсорбционной способности полиэтиленгликолов с их сенсибилизирующими и валирующими действиями на галидосеребряную эмульсию. Был разработан экспериментальный и чувствительный метод исследования экстрагируемости пластификаторов в водную фазу, позволяющий оценить их совместимость с триацетилцеллюлозной пленкой.

При исследовании неэлектроактивных поверхностно активных веществ (ПАВ) циклическая полярография с треугольной разверткой потенциала регистрирует поляризационную кривую с минимумом, отвечающим максимальной адсорбции и катодными и анодными пиками адсорбции на границе области адсорбции<sup>1,2</sup>. Параметры циклической полярограммы (ЦП): минимальное значение емкостного тока, потенциалы и высоты адсорбционных пиков (пиков псевдоемкости) зависят от природы и концентрации ПАВ и потенциала поляризации.

Нами исследована группа фотографически активных ПАВ (табл. I), к которым относятся: химические сенсибилизаторы, полиэтиленгликоль 100 (I), полидекаэтиленгликоловый эфир этилфосфорной кислоты (II), пентаэритрит-ди(полиэтиленгликоль-100) фосфат (III); смачиватели — анионоактивные ПАВ, натриевые соли додецилового эфира сульфополиэтиленгликоля (синтанолы) с числом звеньев равным трем (Д-3С) (IV), семи (Д-7С) (V), десяти (Д-10С) (VI), семнадцати (Д-17С) (VII) и пластификаторы триацетилцеллюлозной пленки — катионно активные ПАВ производные четвертичных аммониевых солей  $\beta$ -морфолинопропионовой кислоты ( $\beta$ -МПК) (VIII—XII).

Таблица I

Адсорбционные характеристики фотографически активных ПАВ, исследованные методом вольтамперметрии с треугольной разверткой потенциала

Но	Структура	$\nu$ -критерий			Адсорбция на РКЭ			Адсорбция на УПГСЭ	
		РКЭ	ACЭ	$\lg B$	$-\Delta G$ КДЖ	$K_{KM}$	$c \cdot 10^3, \text{ мол/л}$	$\lg B$	$-\Delta G$ КДЖ
I	$\text{HO}(\text{CH}_2\text{CH}_2\text{O})_{100}\text{H}$ $\text{OC}_2\text{H}_5$	—	—	5,0	38,5	—	—	4,2	33,9
II	$\text{HO}[\text{PO}(\text{CH}_2\text{CH}_2\text{O})_{10}]_2\text{H}$	0,6 <sup>—</sup> 0,7	—	3,4	39,3	—	—	3,8	31,4
III		—	—	5,7	42,2	—	—	4,2	34,0
IV	$\text{C}_{12}\text{H}_{25}\text{O}(\text{CH}_2\text{CH}_2\text{O})_3\text{SO}_3\text{Na}$	0,85	0,80	3,7	31,0	0,6	—	—	—
V	$\text{C}_{12}\text{H}_{25}\text{O}(\text{CH}_2\text{CH}_2\text{O})_7\text{SO}_3\text{Na}$	0,72	0,67	3,7	31,0	0,5	—	—	—
VI	$\text{C}_{12}\text{H}_{25}\text{O}(\text{CH}_2\text{CH}_2\text{O})_{10}\text{SO}_3\text{Na}$	0,70	0,64	3,9	32,2	0,3	—	—	—
VII	$\text{C}_{12}\text{H}_{25}\text{O}(\text{CH}_2\text{CH}_2\text{O})_{17}\text{SO}_3\text{Na}$	0,60	0,60	4,2	33,8	0,15	—	—	—
VIII	$\text{O}^+ \text{C}_4\text{H}_9 - \text{N}^+[(\text{CH}_2)_2]^+ \text{COOR}, \text{R} = \text{CH}_3$	—	—	—	—	—	—	—	—
IX	$\text{R} = \text{C}_4\text{H}_9$	—	—	3,75	31,3	—	—	—	—
X	$\text{R} = \text{C}_6\text{H}_{13}$	—	—	3,15	27,9	—	—	—	—
XI	$\text{R} = \text{C}_7\text{H}_{15}$	—	—	3,2	28,2	—	—	—	—
XII	$\text{R} = \text{C}_8\text{H}_{17}$	—	—	3,2	28,2	—	—	—	—

## ОПЫТНАЯ ЧАСТЬ

Вольтамперограммы регистрировались на электронно-лучевых полярографах серии ЭЛП<sup>3,4</sup> с треугольным поляризующим напряжением в многоциклическом или импульсном режимах. В качестве индикаторного электрода использованы: ртутный капельный (РКЭ) амальгамированный серебряный (АСЭ) и угольно-пастовый галиодосеребряный (УПГСЭ) электроды. УПГСЭ приготовлен по<sup>5</sup> смешанием микрокристаллов AgBr и порошка спектрально чистого графита с полиметилсилоксаном. Электродом сравнения служили насыщенный каломелевый электрод или донная ртуть.

Циклические полярограммы регистрировались при катодной поляризации и параметрах:  $E = 0 + -0,20$  В амплитуда развертки АР = 1,7 + 1,8 В и скорость наложения потенциалов,  $V$ , от 5 до 40 В/С. ЦП имеют типичный для незэлектроактивных ПАВ вид<sup>1</sup> и индивидуальны

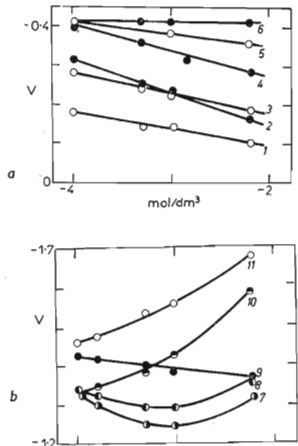


Рис. 1

Зависимость потенциалов десорбционных пиков циклических полярограмм гидрохлоридов  $\beta$ -морфолинопропионовой кислоты (VIII–XI) от их концентрации (фон 1M-KCl). *a* катодный и анодный менее отрицательный пик; *b* катодный более отрицательный пик. Р: 1  $C_6H_{13}$  (*a*); 2  $C_6H_{13}$  (*b*); 3  $C_4H_9$  (*a*); 4  $C_4H_9$  (*b*); 5  $CH_3$  (*a*); 6  $CH_3$  (*b*); 7  $C_4H_9$ ; 8  $C_6H_{13}$ ; 9  $CH_3$ ; 10  $C_7H_{15}$ ; 11  $C_8H_{17}$ .

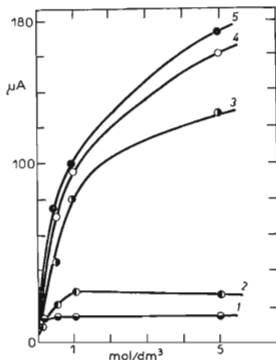


Рис. 2

Зависимость высоты более отрицательного катодного ( $i_p K_2$ ) пика от концентрации гидрохлоридов эфиров  $\beta$ -морфолинопропионовой кислоты (VIII–XI). Р: 1  $CH_3$ ; 2  $C_4H_9$ ; 3  $C_6H_{13}$ ; 4  $C_7H_{15}$ ; 5  $C_8H_{17}$ .

по своим параметрам для каждого из исследованных *I*–*XII* веществ. Форма ЦП и высоты катодных и анодных циклов указывают на необратимость процесса. Исследованы значения диагностических критериев лимитирующей стадии: тесты, основанные на *C*, *V* – критериях<sup>2</sup>, зависимости емкостного тока в минимуме, токов десорбционных пиков и потенциалов пиков от концентрации (*C*) и скорости наложения потенциала (*V*).

### РЕЗУЛЬТАТЫ И ИХ ОБСУЖДЕНИЕ

Как показывают данные рис. 1 с увеличением длины алифатического радикала эфирной группы веществ *VII*–*XII*, с увеличением молекулярной массы, с повышением концентрации веществ в растворе потенциалы менее отрицательных катодного и анодного десорбционных пиков смещаются к более положительным значениям, а потенциалы более отрицательного катодного пика (рис. 1*b*) смещаются в катодную область, что согласуется с данными по адсорбции гомологических рядов органических<sup>6</sup> ПАВ. Отмечено возрастание величин десорбционных пиков с увеличением числа этиленоксидных группировок веществ *IV*–*VII* и длины алифатического радикала эфирной группы веществ *VIII*–*XII* (рис. 2), что характерно для гомологических рядов ПАВ. Нижний член гомологического ряда  $\beta$ -МПК, ПАВ с  $R = \text{CH}_3$  (*VII*) обладает слабо выраженнымми поверхностно-активными свойствами. Для веществ *VIII*–*XII* значения *V*-критерия близки к единице, что соответствует высокой адсорбционной способности. Значение *V*-критерия веществ *II*, *III*, в пределах 0,6–0,7 свидетельствует о замедленном характере процессов адсорбции и десорбции. Уменьшение величины *V*-критерия с повышением молекулярной массы веществ *IV*–*VII* (табл. I) показывает, что адсорбция синтанолов на электроде в большей степени лимитируется диффузией. Близость вольтамперометрических параметров, потенциалов, высот пиков и значений *V*-критерия, полученных при исследовании вещества *VII* на РКЭ и АСЭ свидетельствует о достаточной скорости установле-

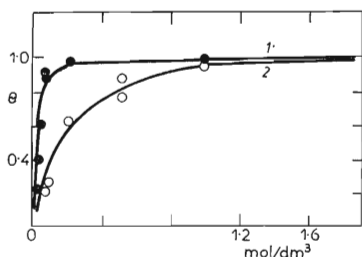


Рис. 3  
Изотермы адсорбции полиэтиленгликоля 100 на РКЭ. 1  $\theta_{pk}$ ; 2  $\theta_{pa}$

ния адсорбционного равновесия на поверхности электрода. Сопоставлена адсорбционная способность гомологических рядов ПАВ неионогенных (полиэтиленгликоли<sup>7</sup>) и ионогенных (синтанолы IV–VII цит.<sup>8</sup>). Ионогенные ПАВ имеют большую область адсорбции по сравнению с неионогенными. В обоих случаях адсорбционная способность возрастает с увеличением числа этиленоксидных групп. В случае полиэтиленгликолей<sup>7</sup> максимум адсорбционной способности соответствует  $n = 20$ . Для фосфорилированных полиэтиленгликолей более полное заполнение двойного слоя достигается при меньших концентрациях вещества III, имеющего большую молекулярную массу, в сравнении с II. В случае синтанолов IV–VII адсорбируемость линейно возрастает от вещества IV с  $n = 3$  до VII с  $n = 17$ .

По полученным  $i(\varphi)$ , С-кривым построены соответствующие изотермы адсорбции (рис. 3–6), удовлетворяющие уравнению изотермы Лэнгмюра. Для оценки  $\Theta$  применена формула

$$\Theta_{\min(i),(\varphi)} = \frac{i_0 - i_x(\varphi_x)}{i_0 - i_c(\varphi_c)}, \quad (1)$$

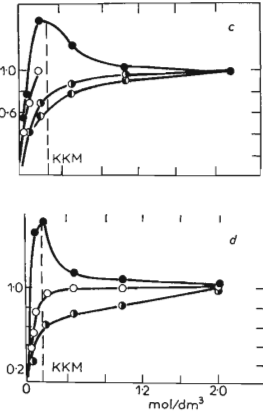
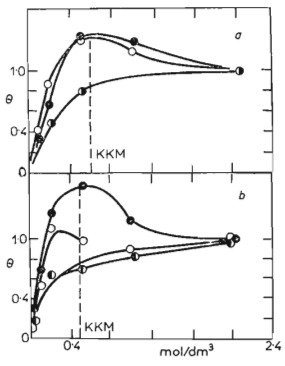


Рис. 4

Изотермы адсорбции синтанолов  $C_{12}H_{25}O(CH_2CH_2O)_4SO_3Na$  на РКЭ.  $a$   $n = 3$ ;  $b$   $n = 7$ ;  $1 \Theta_{pk_1}$ ;  $2 \Theta_{pk_2}$ ;  $3 \Theta_{pa}$ ;  $4 \Theta_{\min}$ ;  $c$   $n = 10$ ;  $d$   $n = 17$ .

$i_0$  — емкостный ток фона в отсутствии ПАВ;  $i_x(\varphi_x)$  — минимальное значение емкости или предельный ток (потенциал) катодного или анодного пиков в растворе фона с добавкой ПАВ;  $i_c(\varphi_c)$  — минимальное значение емкости или предельный ток (потенциал) катодного или анодного пиков при предельном заполнении поверхности электрода ПАВ.

Наличие горба в верхней части изотерм веществ IV—VII при их адсорбции на РКЭ (рис. 4 (a—d)) объяснено переходом мономерной формы в мицеллярную. Вычислена критическая концентрация мицеллообразования (ККМ) (рис. 4 табл. I). В соответствии<sup>9</sup>  $c = \lg \text{ККМ}$  линейно возрастает с числом этиленоксидных звеньев синтаниолов. Адсорбция I, II, III на УПГСЭ исследована, согласно<sup>10</sup>

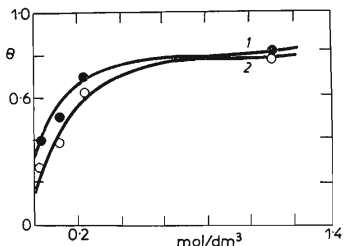


Рис. 5

Изотермы адсорбции полиэтиленгликоля 100 на УПГСЭ. 1  $\Theta_i$ , 2  $\Theta_\phi$

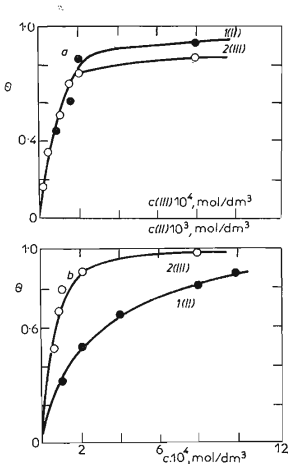
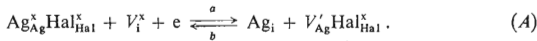


Рис. 6

Графики зависимости степени заполнения от концентрации: 1 полидекаэтиленгликолового эфира этилфосфорной кислоты; 2 пентазирит-ди (полиэтиленгликоль-100) фосфата; а при исследовании на РКЭ на фоне боратного буфера; б тоже при исследовании на УПГСЭ на фоне 1 м- $\text{KNO}_3$

на основе ингибирования максимального тока электрорастворения серебра (stripping — стадия) (*Ab*) в процессах выражаемых<sup>11</sup> уравнениями:



Изотермы адсорбции веществ *I*–*III* на УПГСЭ представлены на рис. 5, 6.

Величина кажущейся константы адсорбционного равновесия при потенциале пика,  $B_p$ , найдена из логарифмической формы уравнения изотермы адсорбции Лэнгмюра

$$\lg [\Theta / (1 - \Theta)] = \lg B + \lg C. \quad (2)$$

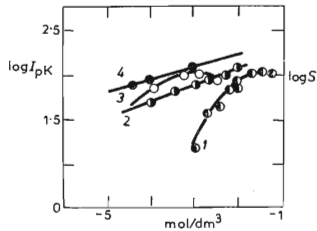


Рис. 7

Зависимость  $\lg I_{\text{pk}}$  и  $\lg S$  от  $\lg C$ : 1, 2 полидекастиленгликолевого эфира этилфосфорной кислоты (*II*), 3, 4 пентазэритритди (полиэтиленгликоль-100) фосфата (*III*).  $I_{\text{pk}}$ —высота катодного адсорбционного пика;  $c$  — концентрация ПАВ;  $S$  — светочувствительность высокочувствительной обращаемой черно-белой пленки

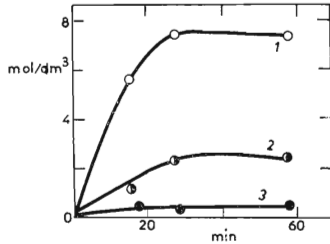


Рис. 8

Кинетика экстрагируемости в водную фазу из триацетилцеллюлозной основы пластификаторов — солей эфиров  $\beta$ -морфолино-пропионовой кислоты: 1 R = CH<sub>3</sub>; 2 R = C<sub>7</sub>H<sub>15</sub>; 3 R = C<sub>8</sub>H<sub>17</sub>

Энタルпия активации адсорбции ( $-\Delta G$ ) при потенциале пика определена по уравнению:

$$-\lg B = \Delta G/RT. \quad (3)$$

Значения термодинамических констант исследованных ПАВ, приведенные в таблице, свидетельствуют об аналогии адсорбции на ртутном и галидосеребряном электродах. Относительно низкие значения энталпии адсорбции подтверждают наличие физической обратимой адсорбции как для РКЭ, так и для УПГСЭ. Адсорбция в последнем случае регистрировалась на свежеобразованной поверхности металлического серебра. Аналогично<sup>7</sup> показана корреляция молекулярной массы, адсорбционной способности фосфорилированных полиэтиленгликолей и их сенсибилизирующими и вуалирующим действием на галидосеребряную эмульсию<sup>12</sup>, объясняемая адсорбцией ПАВ на частицах металлического серебра в процессе восстановления галидосеребряных микрокристаллов проявителем. Более высокие значения адсорбционных параметров III в сравнении с II коррелируются с его большей сенсибилизирующей активностью.

Так при введении активаторов сенсибилизации в высокочувствительную галидосеребряную фотоэмulsionю или в проявитель отмечено большее значение светочувствительности в опытах с веществом III, в сравнении с II (рис. 7). При этом оптимальная концентрация активатора сенсибилизации соответствует максимуму изотермы адсорбции (рис. 6).

С целью исследования вымываемости пластификаторов, производных  $\beta$ -МНК, структур VIII–XII, из триацетилцеллюлозной пленки нами были исследованы циклические полярограммы водных экстрактов пленок (ФОН 1M-KCl)<sup>13</sup>. Концентрацию экстрагируемого пластификатора количественно рассчитывали по предварительно построенным градуировочным графикам (линейный участок концентрационной кривой) (Рис. 2). Анализ графиков указывает на возможность экспрессного изучения кинетики экстрагируемости в водную среду пластификаторов методом циклической полярографии. Вне зависимости от концентрации пластификатора в пленке (в изученном пределе от 10 до 15%) их экстрагируемость в водную fazу уменьшается с повышением молекулярной массы ПАВ, разветвленности алкильных радикалов и по ряду бутил-гексил-гептил-октил (рис. 8).

### Литература

1. Loveland I. W., Elving P. J.: *J. Phys. Chem.* 56, 935, 941 (1952).
2. Гороховская В. И., Гороховский В. М.: *Практикум по осциллографической полярографии*. Высшая школа, Москва 1973.
3. Нигматуллин Р. Ш. В сборнике: *Теория и практика полярографического анализа*, с. 129. Штиинца, Кишинев 1962.

4. Мирошников А. И., Габсалямов Г. Г., Михайлов В. А., Султанов Э. И., Елизаров А. Б.: Завод. лаб. 33, 382 (1967).
5. Ruby W. R., Tremmed C. G.: J. Electroanal. Chem. Interfacial Electrochem 18, 231 (1968).
6. Дамаскин Б. Б., Петрий О. А., Батраков В. В.: *Адсорбция органических соединений на электродах*, с. 155, Наука, Москва 1968.
7. Гороховский В. М., Галимова А. М., Мошкина Т. М.: Ж. науч. прикл. фотогр. кинематограф. II, 139 (1966).
8. Гороховский В. М., Галимова А. М., Мошкина Т. М., Смирнов О. К., Гиниятуллина Н. А. В сборнике: *Новые исследования в полярографии*, с. 209. Штиинца, Кишинев 1972.
9. Гордон Дж.: *Органическая химия растворов электролитов*, с. 511. Мир, Москва 1979.
10. Gorokhovsky V. M.: Papers from the 1978 International Congress of Photographic Science, p. 270. Rochester 1978.
11. Kröger F. A.: *The Chemistry of Imperfect Crystals*, 2nd Edition. North-Holland, Amsterdam 1974; цит. по: Ю. Д. Третьяков, *Твердофазные реакции*, с. 75. Химия, Москва 1978.
12. Гороховский В. М., Кузовенко Н. М., Гиниятуллина Р. М., Васильченко В. И.: *Тезисы докладов II. симпозиума по синтезу и применению повесхностно-активных веществ в промышленности кинофотоматериалов*, с. 40. Акад. наук ЭССР, Таллин 1979.
13. Гороховский В. М., Галимова А. М., Актуруна С. И., Крупнов Г. П.: цит. 12, с. 10.